# 便携式多功能辐射检测仪设计

杨 松 张晓泉 邓长明 张艳婷 许 非 关玲玲 段少强 (中国辐射防护研究院 太原 030006)

摘要 为了满足便携式辐射测量仪同时测量 X、 $\gamma$ 和中子辐射场的需求,设计基于  $LaBr_3$ (Ce)晶体、硅酸锂铝 (Lithium Aluminum Silicate Oxygen,LASO)型中子探测器、高量程盖革-米勒(Geiger-Muller,GM)计数管的便携式多功能辐射检测仪。对  $LaBr_3$ 晶体输出的光信号经光电倍增管光电转换后,采用一体化数字多道进行数据采集处理及运算,对中子探测器和 GM 管计数器分别设计前置信号处理电路,并对其进行放大、甄别、整形等处理。最后将  $LaBr_3$ 探测器处理的数字信号以 TTL(Transistor-Transistor Logic)串口形式传输给 ARM(Advanced RISC Machine)处理器,将中子探测器和 GM 计数管成形后的脉冲信号接入到 ARM 外部计数端口。 ARM 对  $LaBr_3$ 探测器采集的  $\gamma$  数据进行能谱显示、低剂量率测量,对中子探测器、高量程 GM 管计数器分别进行定时计数,通过计数率换算成剂量率进行显示。该便携式多功能辐射检测仪可实现宽量程  $\gamma$ 、低能 X 射线和中子剂量率的同时测量以及  $LaBr_3$ 能谱仪的核素识别,并通过 USB 接口将数据上传到 PC端。

关键词 低能X射线测量,宽量程 $\gamma$ 测量, $\gamma$ 核素识别,中子测量

中图分类号 TL751

**DOI:** 10.11889/j.0253-3219.2022.hjs.45.110403

# Design of portable multi-function radiation detection system

YANG Song ZHANG Xiaoquan DENG Changming ZHANG Yanting XU Fei GUAN Lingling DUAN Shaoqiang

(China Institute for Radiation Protection, Taiyuan 030006, China)

Abstract [Background] In order to fast and conveniently measure X,  $\gamma$  and neutron radiation field simultaneously, portable multi-function radiation detector is highly demanded. [Purpose] This study aims to design a portable multi-function radiation detection system based on LaBr<sub>3</sub>(Ce) crystal, lithium aluminum silicate oxygen (LASO) neutron detector and high range Geiger-Muller (GM) counter. [Methods] After the optical signal output from the LaBr<sub>3</sub> crystal was photoelectrically converted into electronic signal by the photomultiplier tube (PMT), the integrated digital multi-channel was used for data acquisition of electronic signal, and the subsequent data processing and calculation. The front signal processing circuits, such as amplification, discrimination and shaping, were designed for both the LASO neutron detector and the GM tube counter. Finally, the digital signal processed of the LaBr<sub>3</sub> detector was transmitted to the ARM (Advanced RISC Machine) processor in the form of TTL (Transistor-Transistor Logic) serial port, and the pulse signal formed of the neutron detector and GM counter tube was connected to the external counting port of ARM processor. Energy spectrum was processed for nuclide identification and displayed by ARM processor whilst the low dose rate measurement base on the Gamma data collected by the LaBr<sub>3</sub> detector, the neutron detector and the high range GM tube counter were counted at fixed time and converted from the count rate into the dose rate. [Results & Conclusions] The designed portable multi-function radiation detector realize simultaneous measurement

第一作者: 杨松, 男, 1989年出生, 2014年于山东科技大学获硕士学位, 研究领域为核仪器仪表应用研究

通信作者:邓长明,E-mail: cmdeng@sina.com

收稿日期: 2022-08-30, 修回日期: 2022-10-14

First author: YANG Song, male, born in 1989, graduated from Shandong University of Science and Technology with a master's degree in 2014, focusing on application research of nuclear instruments

Corresponding author: DENG Changming, E-mail: cmdeng@sina.com

Received date: 2022-08-30, revised date: 2022-10-14

of wide range (48 keV $\sim$ 3.0 MeV)  $\gamma$ , low-energy (48 keV $\sim$ 1.25 MeV) X-ray, (0.1 $\sim$ 100 mSv · h $^{-1}$ ) neutron dose rates, and nuclide identification capability of LaBr<sub>3</sub> spectrometer, and upload the data to PC through USB interface.

Key words Low energy X-ray measurement, Wide range  $\gamma$  measurement,  $\gamma$  nuclide identification, Neutron measurement

目前,传统的便携式辐射测量仪一般为单台专 用设备,根据被测对象的放射性类型选择合适的探 测器及后端处理电路,研制出相应的辐射探测仪来 满足特定辐射场下辐射测量的需求[1-2]。随着核科 学技术的不断发展,在核辐射探测领域也加快了研 发步伐。新的探测材料,新的技术,使得核辐射探测 器在小型化、量程、效率、灵敏度、可靠性方面都得到 了提升,其中便携式多功能辐射检测仪成为研发热 点之一。然而便携式一体化辐射测量仪要满足在混 合辐射场下γ核素的快速识别、η-γ甄别、低能 X 射 线的同时测量,对检测仪的设计提出了更高的要求。 LaBr<sub>3</sub>(Ce)晶体由于其高能量分辨率的优势而广泛 应用于核素识别[3],硅酸锂铝(Lithium Aluminum Silicate Oxygen,LASO)型中子探测器具有非常好的 η-γ甄别能力,在探测一定范围能量的中子是反应能 为一固定值,因此形成的的脉冲幅度也是固定值,用 脉冲幅度甄别可以实现η-γ混合场的测量[4-5], ZP1301型盖革-米勒(Geiger-Muller,GM)管计数器 具有高辐射场下的测量优势。由此,本文针对不同辐射场测量的需求<sup>[6-7]</sup>,设计一款集Ø38 mm×高38 mm的 LaBr<sub>3</sub>(Ce)晶体、ZP1301型盖革-米勒管计数器、LASO型中子探测器多个探头为一体的便携式辐射测量仪,针对不同探测器输出的核脉冲幅度特征设计相对应的高压及信号处理电路,对于能谱识别采用美国ORTEC公司数字一体化多道进行高速采集与数字化处理。最后,将前端处理的数字信号传入到ARM(Advanced RISC Machine)控制器上进行分时采集、显示、上传等功能。

# 1 总体设计

图1为多功能辐射检测仪总体结构图。主要包括:探测器单元、信号处理系统、控制系统等部分。该检测仪可同时测量周围X、γ、n辐射水平,并具有核素识别的功能。检测仪总体设计具有宽量程、精度高、智能化、便携式等特点,整体外观实物图见图2。

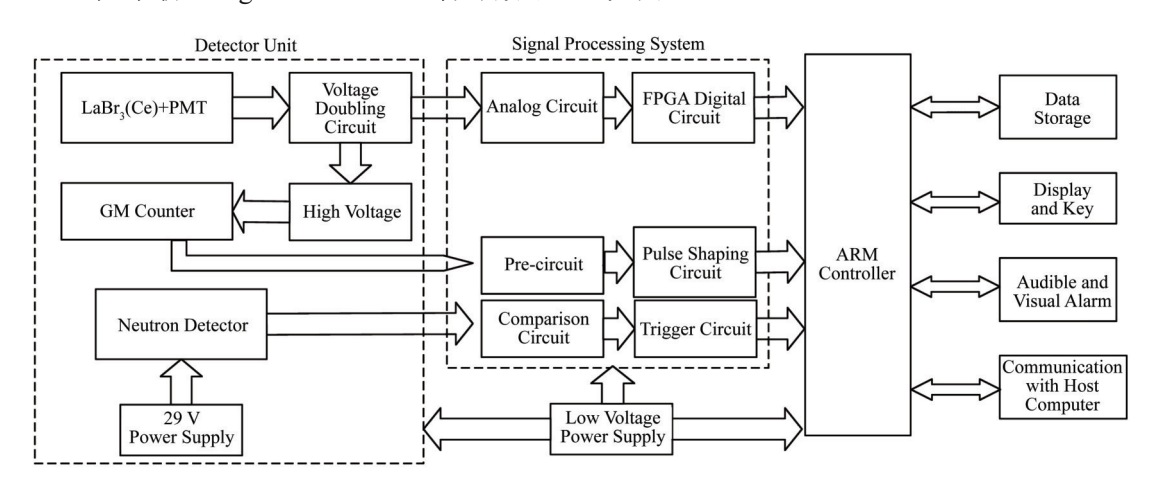


图 1 便携式多功能辐射检测仪总体结构图

Fig.1 Overall structure diagram of portable multi-function radiation detector

#### 2 部件设计

#### 2.1 GM 计数管信号处理电路设计

GM 计数管相比闪烁体和半导体探测器,具有输出信号幅度大、前置信号处理电路简单、环境适应性强、体积小等特性,在便携式核仪表中广泛被应用,其信号处理电路包含前置信号处理电路和信号成形电路<sup>[8]</sup>,R1为计数管的阳极限流电阻,推荐为

MΩ级,R2为计数管阴极取样电阻,初始信号从计数管与阴极电阻之间输出,经过电容C1耦合,电阻R3为输出脉冲时间常数调节电阻,经RC电路输出脉宽不会太大,适应了高计数率,输出的脉冲幅度也不至于太小。然后经过Q2三极管和U1施密特触发器SN74LVC1G14组成的单稳成形电路,输出合适的方波,以接入到ARM控制器的外部计数端进行数据采集。图2为GM计数管信号处理电路。

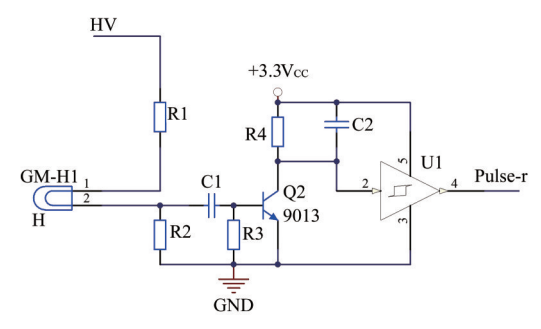


图 2 GM 计数管信号处理电路 Fig.2 Signal processing circuit for GM counter

## 2.2 LaBr<sub>3</sub>探测器倍压电路设计

本检测仪表设计的低剂量和能谱测量采用的是LaBr<sub>3</sub>+CR332光电倍增管作为探测单元,通过专用的14P管座及分压组件连接到数字多道上。根据CR332光电管各倍增级的不同电压,且需要高电压、小电流,故设计了倍压整流电路<sup>[9]</sup>。本倍压整流电路采用耐压较高的整流二极管和电容器,把较低的交流电压整出较高的直流电压,通过多级倍压后分别分配到光电倍增管不同的倍增级上。由于本检测仪所选的GM计数管工作电压在400~500 V之间,所以GM计数管的工作电压也由此倍压电路提供。

#### 2.3 中子探测器后端处理电路设计

本文的中子探测器采用的是 LASO型中子探测器,主要成分钾冰晶石<sup>[10]</sup>,外形尺寸 Ø 22 mm×20 mm,灵敏体积1000 mm³,对中子和γ都有响应,输出幅度大、噪声低。采用29 V 电源模块供电,正常工作功耗低于5 mW,后端处理电路设计如图3所示,电路设计先用了一个比较器 LMV7235M5X 和一个稳态触发器 CD4528 及若干个电容、电阻等器件。主要分两级:第一级比较电路,第二级脉冲整形电路。第一级采用的电压比较器,主要是将噪声信号以及γ信号滤掉,对中子信号进行放大,通过反向输入端设置门槛电平。第二级采用的单稳态触发器 CD4528,起脉冲整形的作用,可输出规则的方波信号,通过选择不同的 R37 和 C27 可以决定脉冲的宽度。

钾冰晶石探测器对于中子和γ射线作用,分别输出脉冲信号的幅度有比较大的差异。实验采用多道分析器分别测量<sup>252</sup>Cf、<sup>137</sup>Cs、<sup>60</sup>Co的响应能谱,如图4所示,可以看到,<sup>252</sup>Cf-n峰位在1700道左右,其对应的幅度脉冲约为477 mV,而对于<sup>137</sup>Cs-γ和<sup>60</sup>Co-γ的响应绝大部分小于1200道,其对应的幅度脉冲小于330 mV。这样,当设置门槛电平阈值大于330 mV时,就能滤除掉γ对探测器的响应,但阈值过大又会滤除掉有效的中子信号,所以设置阈值的上

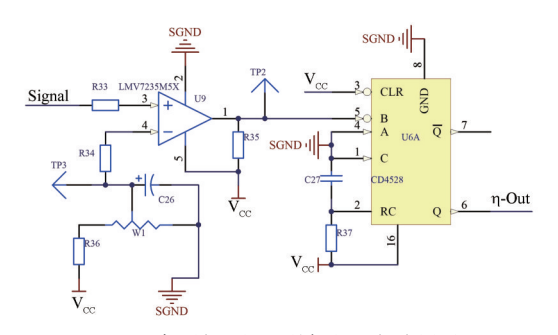
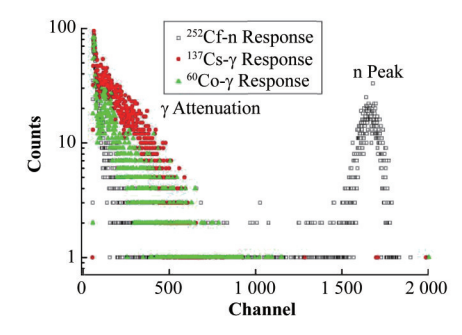


图 3 中子探测器后端处理电路设计 Fig.3 Design of back-end processing circuit of neutron detector

限不大于400 mV。当门槛电平阈值的设置在330~400 mV之间,探测器对中子的测量结果没有影响。



**图4** 探测器对中子、<sup>137</sup>Cs-γ、<sup>60</sup>Co-γ的响应能谱 **Fig.4** Response spectra of detector to neutrons, <sup>137</sup>Cs-γ, <sup>60</sup>Co-γ

## 2.4 主控制系统设计

## 2.4.1 硬件设计

主控制系统设计采用的STM32F103C8T6为核 心模块,32位Cortex的ARM微控制器,成本低、性 能强,有多个IO(Input/Output)端口可供使用,3个 16位定时器,2个I<sup>2</sup>C(Inter-Integrated Circuit)接口,3 ↑ USART (Universal Synchronous/Asynchronous Receiver/Transmitter) 接口,2个SPI(Serial Perripheral Interface)同步串行接口,一个USB2.0通 信接口。主控制器主要实现对探测到的信号进行采 集处理、对数字多道进行能谱采集、OLCD(Organic Light-Emitting Diode)显示、按键输入、数据存储、数 据上传等功能。硬件最小系统控制电路如图5所 示,经处理后y和中子信号分别接入PA1和PB6端 口作为定时计数,外接按键芯片采用模拟I<sup>2</sup>C控制, OLED液晶采用模拟 SPI 控制,能谱数据采用 USART 串口与多道通讯,数据存储采用 2 M×8 bit 的 FLASH 芯片通过硬件 SPI 控制,与上位机采用 USB 通讯,处理器的 IO 端口通过输出功能控制蜂鸣 器、LED灯来实现声光报警,IO的输入功能可检测 电池是否电压,此外还有外部晶振 8 MHz 和 32.768 kHz 设计。

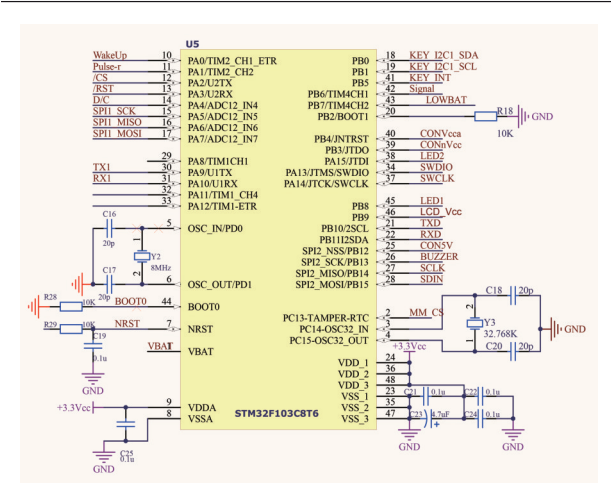


图 5 最小系统控制电路 Fig.5 Minimum system control circuit

#### 2.4.2 软件设计

软件设计是在Keil5 MDK上用C语言完成的, 程序主要包括:低功耗模式配置、OLED显示初始 化、USART串口传输配置、外部按键中断、定时器中 断、剂量率拟合及突变算法、低能X射线能量补偿算 法等。首先,执行系统初始化,读取Flash中的配置 参数;然后仪器进入低功耗模式等待开机唤醒,低功 耗模式配置成待机模式,此时模式系统会关闭所有 的时钟以及外设,电流可降低超400 mA。开机后仪 表进入主界面显示,开始X、y数据采集,对ARM处 理器采集的Χ、γ脉冲数据进行平滑和突变算法处 理,然后在不同剂量下进行多点拟合得出剂量率。 对于低能 X 射线采用能谱法进行能量补偿,根据特 征峰信息可以把能谱数据的低能区分成若干段,每 一区间对应一个能量补偿因子[11]。程序定时扫描是 否有外部按键中断,当有按键指令后会进入不同的 功能界面,包括中子剂量率测量、核素识别、参数设 置、上位机通信等。中子剂量率测量是根据不同的 中子剂量场下仪器得到的计数率转换成剂量率所 得,软件内部编写了对应的刻度公式。核素识别部 分采用的是ORTEC提供的函数库,可直接调用其库 函数实现,其中稳谱部分采用软件稳谱方法,利用K 峰(1.46 MeV)的特征峰进行实时寻峰,在探测器放 大增益固定的情况下,通过调整LaBr,探测器的高压 值,将K40峰位调整到固定的道址,从而实现稳峰的 目的。参数设置主要是对仪表的报警阈值、刻度因 子、测量周期等进行修改,最后多功能便携式仪表预 留了USB通信接口,可以根据上位机指令上传相应 的数据。软件设计流程图如图6所示。

# 3 主要性能测试与讨论

本仪表根据不同的探测器进行辐射测量,通过

切换不同的测量界面实现 X、y、中子剂量率的测量以及放射性核素的识别。在混合场下, 仪表开机默认进入 X、y 剂量率的自动测量界面, 并实时更新 X、y 剂量率的测量数据。通过按键设置切换到中子剂量率测量界面, 中子探测器开始工作, 并自动对混合场中的中子剂量率进行测量。对于可疑放射源进行核素识别时, 仪表开机进入主界面需远离放射源, 然后按键切换到核素识别界面, 点击"采集"按钮开始测量, 默认采集时间 60 s, 待数据采集完毕, 仪表自动进行核素识别并显示识别结果。

#### 3.1 剂量当量率测量

本次仪表放射性实验在国防科技工业电离辐射 一级 计量站进行,仪器本底γ计数平均值  $0.162~\mu Sv \cdot h^{-1}$ ,经在参考辐射源  $^{137}Cs \cdot ^{69}Co$  源下测试,仪表的γ剂量当量率相对固有误差  $\leq \pm 20\%$ ,满足便携式  $X \cdot \gamma$  辐射周围剂量当量 ( 率) 仪检定规程  $^{122}$  。表 1 为γ剂量当量率相对固有误测试结果,测量范围涵盖  $10^{-1} \sim 10^7~\mu Sv \cdot h^{-1}$  8 个数量级的宽量程。GM 计数管在该便携式仪表中实现高量程剂量率的测量,当γ剂量率大于  $100~\mu Sv \cdot h^{-1}$  时,硬件后会自动切换成GM 计数管测量。本仪表采用的GM 的剂量率测量范围可达  $10^2 \sim 10^7~\mu Sv \cdot h^{-1}$ 。

仪表中所用的中子探测器,在本底环境下中子剂量率测量值为  $0.1~\mu Sv \cdot h^{-1}$ ,测量范围可达  $0.1~100~m Sv \cdot h^{-1}$ ,相对于  $^{252}Cf$ 源其灵敏度  $>5~\mu Sv \cdot h^{-1}$ ,采用 Am-Be 和  $^{252}Cf$  中子源进行测试,测量结果如表 2 所示,相对固有误差  $<\pm 15\%$ ,满足中子周围剂量当量 (率) 仪检定规程  $^{[15]}$ 。

#### 3.2 X、y射线能量响应测量

对于仪表的能量范围要求满足  $48 \text{ keV} \sim 3 \text{ MeV}$ ,针对  $LaBr_3$ 探测器和 GM探测器的能量响应是否满足国标要求, $LaBr_3$ 探测器分别在特征能量为  $48 \text{ keV} \sim 60 \text{ keV} \sim 87 \text{ keV} \sim 149 \text{ keV} \sim 211 \text{ keV}$ 的 X 射线和  $^{137}Cs \sim ^{60}Co$  标准辐射场下测试,能量响应测试结果如表 3 所示。

通过表 4 的测试结果看,经物理补偿后的 GM 探测器,实现了在 48 keV~1.25 MeV 能量范围内的

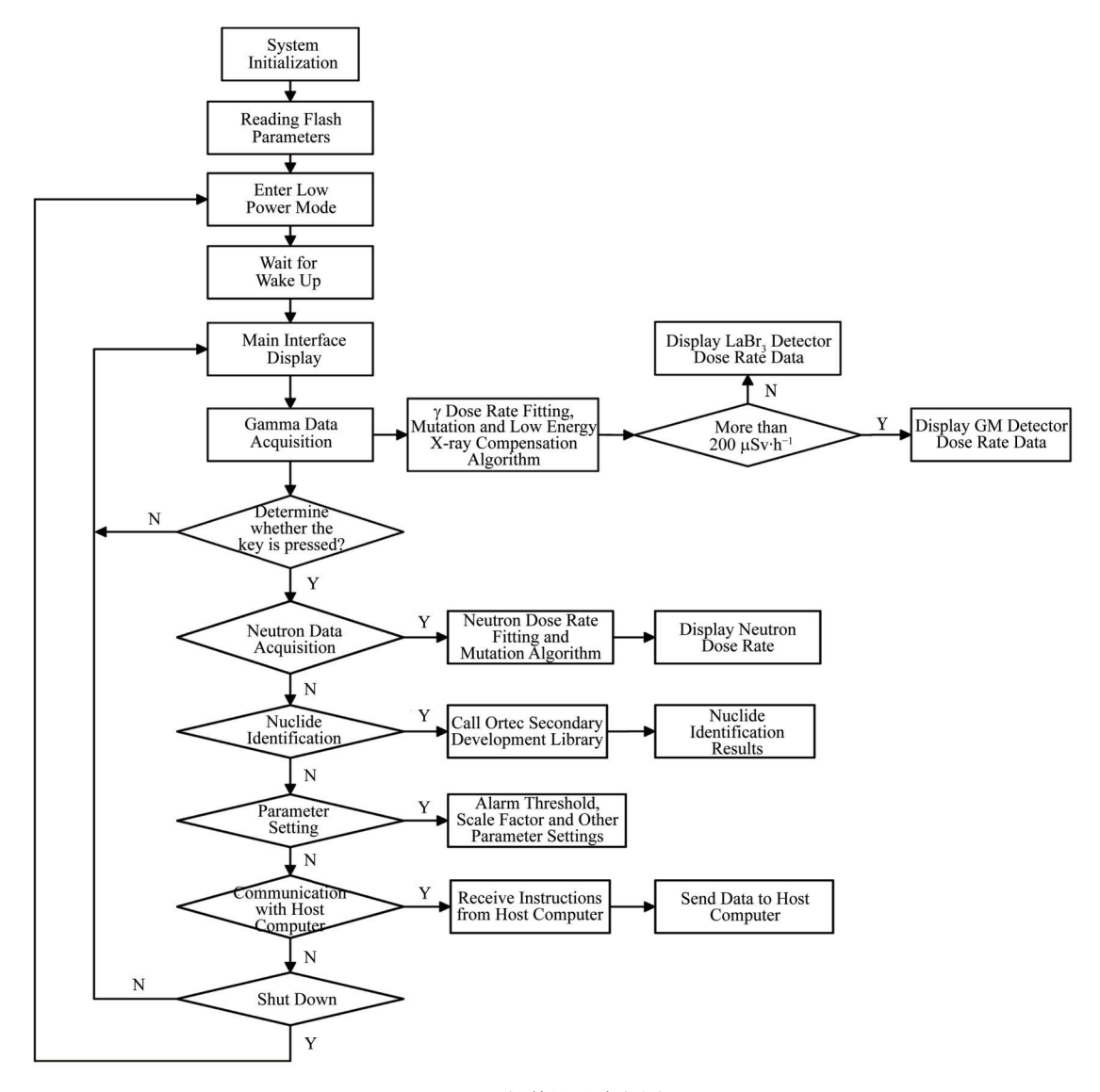


图 6 软件设计流程图 Fig.6 Software design flow chart

表 1 γ剂量当量率相对固有误差测试结果 Table 1 Test results of relative intrinsic error of γ dose equivalent rate

参考辐射场	约定真值	平均值	相对误差
Reference	Conventional truth	Average value	Relative
radiation field	value / $mSv \cdot h^{-1}$	$/ \text{ mSv} \cdot \text{h}^{-1}$	error / %
<sup>137</sup> Cs	5.71×10 <sup>-4</sup>	8.27×10 <sup>-4</sup>	15
<sup>137</sup> Cs	$6.03 \times 10^{-3}$	$7.11 \times 10^{-3}$	15
<sup>137</sup> Cs	6.47×10 <sup>-2</sup>	$7.54 \times 10^{-2}$	16
<sup>137</sup> Cs	$1.20 \times 10^{-1}$	$1.41 \times 10^{-1}$	17
<sup>137</sup> Cs	5.99×10 <sup>-1</sup>	$5.24 \times 10^{-1}$	-13
<sup>137</sup> Cs	6.08	5.21	-14
<sup>137</sup> Cs	59.8	48.7	-18
<sup>137</sup> Cs	435	404.0	-7.1
<sup>60</sup> Co	551	487.0	-12
<sup>60</sup> Co	720	618.5	-14
<sup>60</sup> Co	1 164	995.0	-15

表 2 中子剂量当量率相对固有误差测试结果
Table 2 Test results of relative intrinsic error of neutron
dose equivalent rate

参考辐射场	约定真值	平均值	相对误差
Reference	Conventional truth	C	
radiation field	value / μSv·h <sup>-1</sup>	/ μSv·h <sup>-1</sup>	error / %
Am-Be	66.5	60.4	-9.2
Am-Be	220	229.1	4.1
<sup>252</sup> Cf	708	744.3	5.1
<sup>252</sup> Cf	2 340	2 260	-3.4

较准确地测量,能量响应误差≤±30%。

## 3.3 能量分辨率

能量分辨率是表征核辐射探测器分辨相近能量 γ峰的本领,是探测器的一项重要指标。本文设计的 便携式多功能辐射检测仪基于LaBr<sub>3</sub>探测器具有较

表3 LaBr<sub>3</sub>探测器能量响应测试结果 Table 3 Test results of LaBr<sub>3</sub> detector energy response

		3	0.0	•
参考辐射场	约定真值	平均值	响应	能量响应
Reference	Conventional	Conventional	Response	Energy
radiation	truth value	truth value		response
field	$/\;\mu Sv\boldsymbol{\cdot} h^{\scriptscriptstyle -1}$	$/\;\mu Sv\boldsymbol{\cdot} h^{\scriptscriptstyle -1}$		
L-55	48.9	38.9	0.90	1.01
L-70	50.3	43.3	0.86	0.96
L-100	50.9	44.5	0.87	0.97
L-170	46.5	42.0	0.90	1.01
L-240	41.4	36.7	0.89	1.00
<sup>137</sup> Cs	36.6	44.0	0.89	1.00
<sup>60</sup> Co	34.2	39.1	1.14	1.28

表4 GM管能量响应测试结果 Table 4 Test results of GM detector energy response

参考辐射场	约定真值	平均值	响应	能量响应
Reference	Conventional	Conventional	Response	Energy
radiation	truth value	truth value		response
field	/ μSv·h <sup>-1</sup>	/ μSv·h <sup>-1</sup>		
N-60	865	649.7	0.75	0.85
N-80	938	1 029.0	1.10	1.25
N-100	927	1 050	1.13	1.28
N-120	891	884.2	0.99	1.13
N-150	1 283	1 218	0.95	1.08
N-200	821	833.4	1.02	1.16
N-250	791	744.4	0.98	1.11
<sup>137</sup> Cs	823	727	0.88	1.00
<sup>60</sup> Co	486	434	0.89	1.01

高的核素识别能力,仪表将原始的能谱数据通过USB上传到上位机软件进行计算分析。实验将<sup>137</sup>Cs标准点源(活性区<Ø3 mm)置于距探测器中心垂直距离10 cm处,为了保证测量的准确性,<sup>137</sup>Cs全能峰总计数大于10<sup>4</sup>,通过测试分析 LaBr<sub>3</sub>探测器对于<sup>137</sup>Cs的662 keV射线的能量分辨率可达2.8%,远远优于NaI(TI)探测器的7%~8%的分辨率,能量分辨率测试如图7所示。

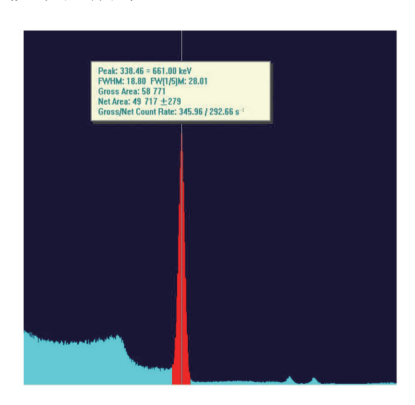


图7 能量分辨率测试 Fig.7 Energy resolution test

#### 3.4 环境适应性、电磁兼容以及可靠性试验

便携式多功能辐射测量仪在设计完成后,对环境适应性、电磁兼容、可靠性进行了试验<sup>[14]</sup>。环境适应性及可靠性试验在苏试试验北京实验室进行,电磁兼容试验在北京东方计量测试研究所进行。环境试验中对仪表的低温、高温、恒定湿热、低气压进行了试验,其中温度在-20~45℃范围,相对湿度93%,气压在常压0.5 kPa范围,仪表的外观和结构以及基本性能均正常。在外部辐射场的耦合形成干扰信号的条件下,对本设计的检测仪没有产生敏感现象,指示灯显示及功能状态正常,图8是电磁兼容现场实验图。可靠性试验总时长为100 h,试验中检测仪未发生故障,测量数据正常。

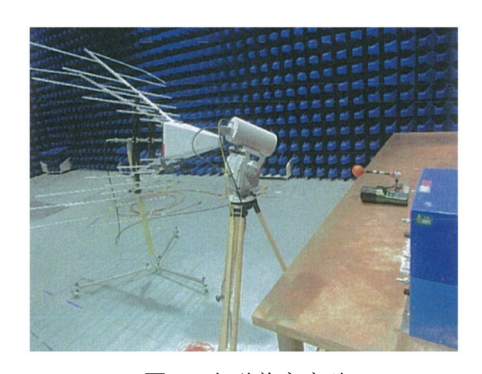


图 8 电磁兼容实验 Fig.8 Electromagnetic compatibility experiment

## 4 结语

本文设计的便携式多功能辐射检测仪基于多种探测器为一体,设计相应的硬件电路及软件程序,整体设计紧凑,具备搜索、检测、报警、数据上传等功能。通过对其主要性能进行测试,具有较好的抗干扰能力,工作稳定,实现了 X、γ、中子剂量当量率的准确测量以及高分辨率的核素识别。可应用到放射性混合场下快速、准确地判别放射性核素种类及辐射强度要求,为环境辐射监测、核反恐安检、辐射源清理和其他核技术应用领域提供理想的检测手段。

本文设计的LASO中子探测器具有优异的性能参数,但由于整机结构的限制,只考虑该探测器作为中子剂量率测量使用,后续可对中子能谱的测量做进一步地研究,另外该便携式仪表对γ剂量率具有宽量程的测量,但对GM管的能量响应偏差较大,后续可通过实验修正的方式提高其测量的精度。

作者贡献声明 杨松:负责文章的起草、收集文献以及整体方案设计;张晓泉:负责研究的提出和设计; 邓长明:负责技术指导并对文章的知识性内容作批评性审阅;张艳婷:负责硬件研制;许非:负责文献收 集和校对;关玲玲:负责软件开发;段少强:负责实验 测试。

# 参考文献

- 1 王婷婷, 张庆威, 刘福至, 等. 多功能主机便携式辐射测量仪表设计[J]. 核电子学与探测技术, 2019, **39**(1): 13 17. DOI: 10.3969/j.issn.0258-0934.2019.01.004. WANG Tingting, ZHANG Qingwei, LIU Fuzhi, *et al.* Design of portable radiation measuring instrument based
  - Design of portable radiation measuring instrument based on multi-function meter[J]. Nuclear Electronics & Detection Technology, 2019, **39**(1): 13 17. DOI: 10. 3969/j.issn.0258-0934.2019.01.004.
- 2 陈志强, 陈晶晶, 舒双宝, 等. LaBr<sub>3</sub>(Ce)探测器探测效率 影响因素研究[J]. 核技术, 2022, **45**(1): 010401. DOI: 10. 11889/j.0253-3219.2022.hjs.45.010401.
  - CHEN Zhiqiang, CHEN Jingjing, SHU Shuangbao, *et al.* Simulation study on the factors affecting the detection efficiency of a LaBr<sub>3</sub>(Ce) detector[J]. Nuclear Techniques, 2022, **45**(1): 010401. DOI: 10.11889/j. 0253-3219.2022. hjs.45.010401.
- 3 李民. LaBr<sub>3</sub>(Ce)闪烁体的辐射探测性能研究[D]. 北京: 华北电力大学, 2020.
  - LI Min. Study on radiation detection performance of LaBr<sub>3</sub>(Ce) scintillator[D]. Beijing: North China Electric Power University, 2020.
- 4 周悦, 于华伟, 王猛, 等. 基于CLYC探测器的可控源中子孔隙度测井数值模拟研究[J]. 核技术, 2021, 44(4): 040501. DOI: 10.11889/j.0253-3219.2021.hjs.44.040501. ZHOU Yue, YU Huawei, WANG Meng, *et al.* Numerical simulation of controllable source neutron porosity logging based on CLYC detector[J]. Nuclear Techniques, 2021, 44 (4): 040501. DOI: 10.11889/j. 0253-3219.2021. hjs. 44. 040501.
- 5 许助. 基于 LASO 探测器的数字化能谱仪的研制[D]. 成都: 成都理工大学, 2018.
  - XU Zhu. Development of digital spectrometer based on LASO detector[D]. Chengdu: Chengdu University of Technology, 2018.
- 6 国家质量监督检验检疫总局,中国国家标准化管理委员会.辐射防护仪器β、X和γ辐射周围和/或定向剂量当量:GB/T4835.1—2012[S].北京:中国标准出版社,2013.
  - General Administration of Quality Supervision, Inspection and Quarantine of the People's Republic of China, Standardization Administration of the People's Republic of China. Radiation protection instrumentation -

- ambient and/or directional dose equivalent (rate) meters and/or monitors for beta, X and gamma radiation Part 1: portable workplace and environmental meters and monitors: GB/T 4835.1—2012[S]. Beijing: Standards Press of China, 2013.
- 7 国家市场监督管理总局,国家标准化管理委员会.辐射防护仪器中子周围剂量当量: GB/T 14318—2019[S].北京:中国标准出版社,2019.
  - State Administration for Market Regulation, Standardization Administration of the People's Republic of China. Radiation protection instrumentation—neutron ambient dose equivalent (rate) meters: GB/T 14318—2019[S]. Beijing: Standards Press of China, 2019.
- 杨团伟, 邵晖, 樊海军, 等. GM 计数管的信号采集与处理[J]. 核电子学与探测技术, 2014, **34**(6): 720 723. YANG Tuanwei, SHAO Hui, FAN Haijun, *et al.* GM-counter tube signal acquisition and processing[J]. Nuclear Electronics & Detection Technology, 2014, **34**(6):
- 9 李自成, 袁保山. 改进型低纹波 Cockcroft-Walton 倍压 电路及其特性研究[J]. 科学技术与工程, 2014, **14**(17): 64 - 67, 77.

720 - 723.

- LI Zicheng, YUAN Baoshan. Advanced low ripple Cockcroft-Walton voltage multiplier circuit and its characteristics research[J]. Science Technology and Engineering, 2014, **14**(17): 64 67, 77.
- 10 王晴晴, 任国浩. 中子探测用钾冰晶石型闪烁晶体研究 进展[J]. 硅酸盐学报, 2016, **44**(3): 457 463. DOI: 10. 14062/j.issn.0454-5648.2016.03.18.
  - WANG Qingqing, REN Guohao. Recent development on elpasolite scintillation crystals for neutron detection[J]. Journal of the Chinese Ceramic Society, 2016, 44(3): 457 463. DOI: 10.14062/j.issn.0454-5648.2016.03.18.
- 任晓娜, 胡遵素. 用 NaI(Tl)探测器测量 γ 辐射场剂量特性的加权积分法研究[J]. 辐射防护, 2003, **23**(2): 65 73. REN Xiaona, HU Zunsu. Study on a weighted integration method by using NaI(Tl) detector for measuring dosimetric properties of the gamma-radiation field[J]. Radialization Protection, 2003, **23**(2): 65 73.
- 12 国家市场监督管理总局. 便携式 X、γ辐射周围剂量当量: JJG 393—2018[S]. 北京: 中国质检出版社, 2018.

  State Administration for Market Regulation. Portable ambient dose equivalent (rate) meters and monitors for X and gamma radiations: JJG 393—2018[S]. Beijing: State Market Regulatory Administration, 2018.
- 13 国家技术监督局. 中子周围剂量当量(率)仪检定规程:

JJG 852-2006[S]. 北京: 中国计量出版社, 2007.

State Bureau of Quality and Technical Supervision of the People's Republic of China. Verification regulation of neutron ambient dose equivalent (rage) meters: JJG 852—2006[S]. Beijing: China Metrology Publishing House, 2007.

14 中华人民共和国公安部. 便携式放射性物质探测与核素识别设备通用技术要求 第1部分: γ探测设备: GA/T

1060.1-2013[S]. 北京: 中国标准出版社, 2013.

The Ministry of Public Security of the People's Republic of China. General technical requirements for portable instruments for radioactive material detection and radionuclides identification - Part 1:  $\gamma$  -ray detection instruments: GA/T 1060.1—2013[S]. Beijing: Standards Press of China, 2013.